



Prospección geofísica para la localización de fosa común en el cementerio de A Capela (A Coruña).

MEMORIA DE INTERVENCIÓN

Autores

Roger Sala Bartrolí
Pedro Rodríguez Simón

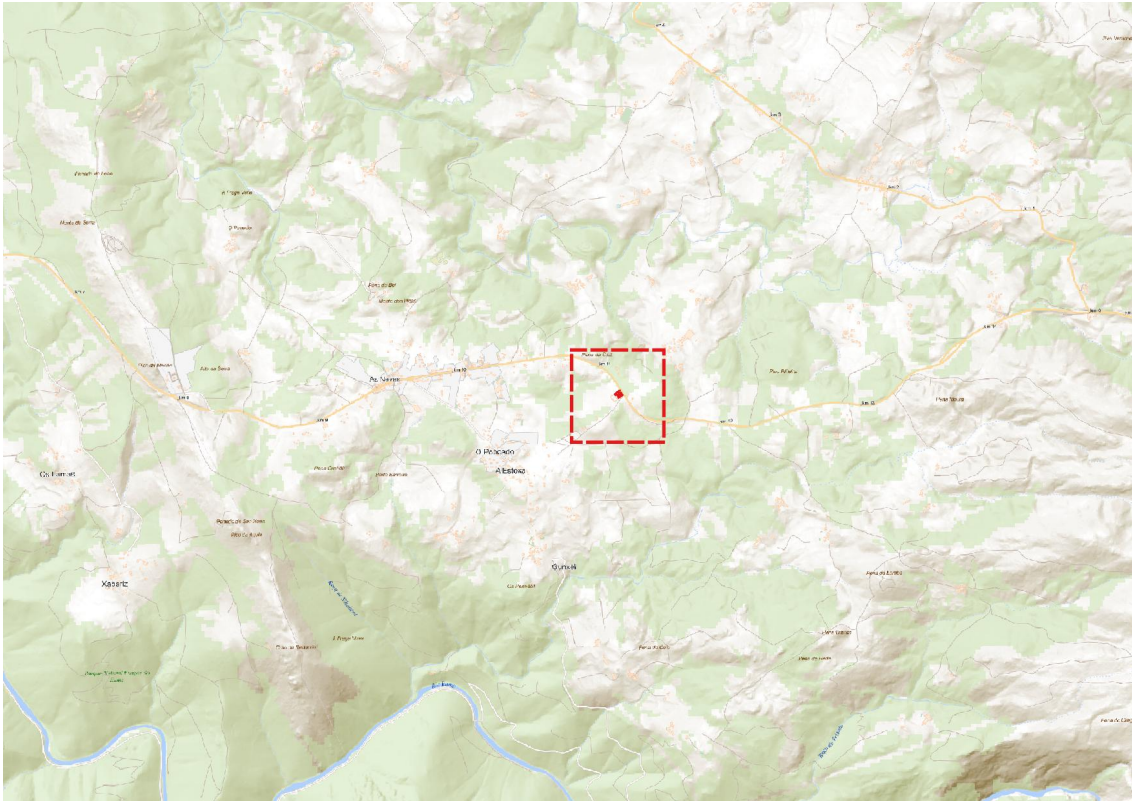
Prospección geofísica para la localización de fosa común en el cementerio de A Capela (A Coruña).

Resumen de la intervención

Resumen	<u>Objetivo</u>	Localización de fosa
	<u>Metodología</u>	Prospección georradar IDS SOT, 5 antenas 600 MHz, 0.20 x 0.027 m.
	<u>Conclusiones</u>	Secuencia compleja en la que no ha sido posible identificar con certeza enterramientos individuales relacionables con represaliados. Elementos que pueden permitir acotar las zonas de intervención.
Localización	Cementerio de A Capela	
Concello	Capela	
Provincia	A Coruña	
Coordenadas UTM	ETRS89 UTM29N 576674 / 4809498	
Superficie evaluada	1023 m ²	
Tipo de intervención	Prospección geofísica.	
Fechas de ejecución	22 de noviembre de 2022	
Dirección	Tempos Arqueólogos	
Financiación	Secretaría de Estado de Memoria Democrática	

Tabla 1. Ficha de la intervención

1. Motivación, objetivos de la intervención y áreas exploradas.



1. Ubicación de barranco sobre cartografía base IGN.

La presente intervención tiene por objetivo la localización de los lugares de enterramiento de una serie de vecinos de As Pontes asesinados en 1936 y enterrados en el cementerio de A Capela.

La escasez de cualquier tipo de información relacionada con el evento ha hecho que los intentos de exhumación realizados hasta el momento no hayan tenido éxito. Los reducidos testimonios orales documentados solo apuntan, de manera teórica, a ubicaciones poco concretas dentro del recinto histórico del cementerio.

Ante esta situación, la dirección de la intervención ha planteado la aplicación de métodos no invasivos para tratar de precisar la localización de los lugares en los que fueron enterrados.

Por ello, se han establecido tres áreas de investigación, cubriendo las superficies practicables del recinto histórico del cementerio y los lugares que mayor potencial, cubriéndose una extensión de 1023m². Todas las áreas estudiadas presentan cobertura de hierba y una superficie nivelada.



2. Zonas planteadas en el proyecto de intervención y áreas ejecutadas.

2. Estrategia de prospección y metodología.

Teniendo en cuenta los objetivos y las características del entorno, se planteó una prospección extensiva con georradar, técnica que permite aportar información de detalle en cuanto a cortes y movimientos de tierra compatibles con fosas de represión, incluyendo datos sobre la profundidad y morfología de estos elementos.

Los datos obtenidos presentan buena calidad, con una penetración media de 1.7 m de profundidad, con zonas concretas en los que se han alcanzado los 2 m bajo superficie

La prospección ha generado 310 secciones individuales de georradar. Estas secciones o radargramas se han procesado para eliminar ruidos electromagnéticos externos y para equilibrar la respuesta de las cinco antenas del sistema.

A partir de los datos procesados se ha generado una secuencia de dieciseis cortes horizontales o vistas en planta de los datos, correspondientes a lapsos de profundidad de 0.19 m. La secuencia abarca desde la superficie hasta una profundidad estimada de 1.72 m.

3.1 Sistemas utilizados y ajustes

La prospección georradar se ha realizado con un sistema de georradar IDS customizado para SOT, equipado con cinco antenas de 600 MHz en lectura simultánea. Los datos se han obtenido con una resolución de 0.03 x 0.20 m.

3.2 Procesado de datos

El proceso de los datos ha consistido en dos fases: por una parte, la corrección de errores e interferencias de los datos y por otra, su posterior integración en un solo bloque de datos tridimensional. La corrección de los datos se ha realizado mediante un filtro *band-pass* para la corrección de la deriva de fase y para eliminar ruidos de frecuencia y, finalmente, otro filtro de *background* para eliminar ruidos electromagnéticos constantes.

Una vez corregidos los datos, se han integrado en un bloque tridimensional mediante el programa GPR-Slice. A partir de este bloque, se ha generado una secuencia de dieciséis cortes horizontales o visualizaciones en planta representativos de 42 cm de grosor, de 0 a 1.50 m de profundidad.

Método	Georradar		
Sistema	RIS Fast Wave SOT		
Sensor	TR600 FW		
N.º de sensores	5		
Separación entre sensores	0.20 m		
Data logger	Panasonic CF-19		
Propiedad	Amplitud (SI)		
Configuración	Frecuencia	Ventana tiempo	N.º de muestras por traza
	600 MHz	60 ns	512
Resolución	0.03 x 0.20 m		
Posicionamiento de los datos	Encoder integrado y coordenadas absolutas GPS		
Extensión explorada	1023 m ²		

Tabla 2. Parámetros de la adquisición de los datos de georradar.

3.3 SIG del proyecto: Sistematización e interpretación

El sistema SIG del proyecto se ha creado utilizando la aplicación libre QGis 3.26. Todos los datos utilizados se han basado en el datum ETRS89 29N (EPSG: 25829). La cartografía de base utilizada se ha obtenido de la infraestructura de datos del Instituto Geográfico Nacional (IGN), incluyendo imágenes aéreas vigentes e históricas y bases cartográficas a escalas variables.

El posicionamiento de los datos ha sido realizado un GPS subcentimétrico (Stonex 850 A), con base y rover, en referencia a la red IGN. Los datos han sido tomados en coordenadas ETRS89 UTM 29N con modelo de Geoide EGM08 REDNAP.



3. Prospección con georradar IDS RIS FastWave SOT

Los datos obtenidos en todas las prospecciones se han incorporado al sistema SIG del proyecto para interpretar los datos obtenidos en su contexto topográfico y generar la cartografía final de resultados, representada, tanto para datos como para interpretación, en forma de archivos ráster y vectoriales (puntos, líneas y polígonos).

Datos georradar

Para la interpretación de los datos de georradar se han analizado en forma de secuencia de cortes horizontales, seleccionándose los más representativos de la secuencia generada, siendo extraídas las anomalías más relevantes destacadas para cada nivel de

profundidad, con las que se han generado mapas por profundidades, consistentes en la creación de esquemas de las anomalías más significativas para cada corte horizontal en formato vectorial. Esto permite expresar de manera esquemática la evolución de los diferentes elementos con la profundidad. Esta representación permite visualizar la evolución de la respuesta del subsuelo según la profundidad. Partiendo de estos formatos se ha confeccionado un esquema de interpretación o síntesis de interpretación, en el que se incluyen esquemas de las anomalías captadas mediante ambos métodos de prospección, divididas según su atribución interpretada.

Síntesis

Los resultados de las interpretaciones de los datos se resumen en un esquema sintético donde se representan la ubicación de las posibles fosas.

3. Resultados.

Calidad de los datos.

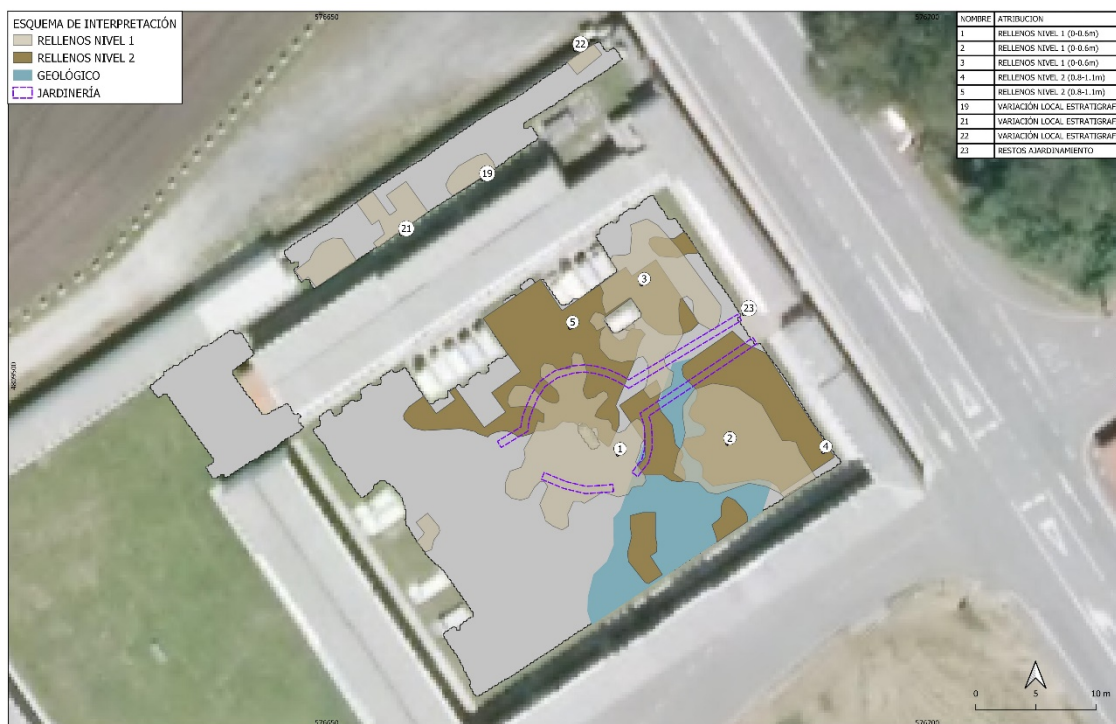
Los datos obtenidos presentan una calidad correcta, aunque en las zonas con mayores acumulaciones de piedra, el contacto de las antenas con la superficie irregular ha producido datos de menor calidad.

El análisis de los datos muestra un contraste elevado tanto para elementos horizontales (niveles de relleno, aportaciones de tierra) como para elementos verticales (estructuras de enteramiento). Aun así, los datos obtenidos se han mostrado como de una gran complejidad, localizándose elementos sin una identificación clara, sobre todo relacionados con rellenos heterogéneos.

Elementos descritos.

El análisis de los datos obtenidos muestra una disposición muy compleja del subsuelo en toda la extensión explorada. Para facilitar la explicación, se presentan los resultados de la prospección exponiendo primero el contexto de respuesta obtenido y en segundo

lugar se detallan los elementos más destacados que puedan corresponder con estructuras de enterramiento.



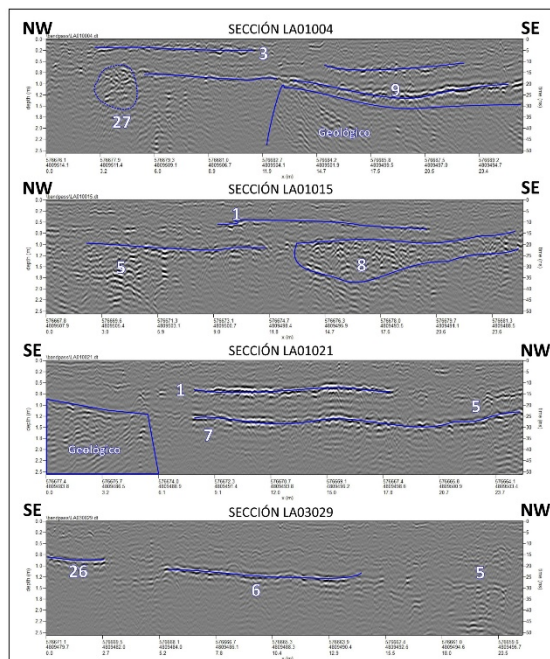
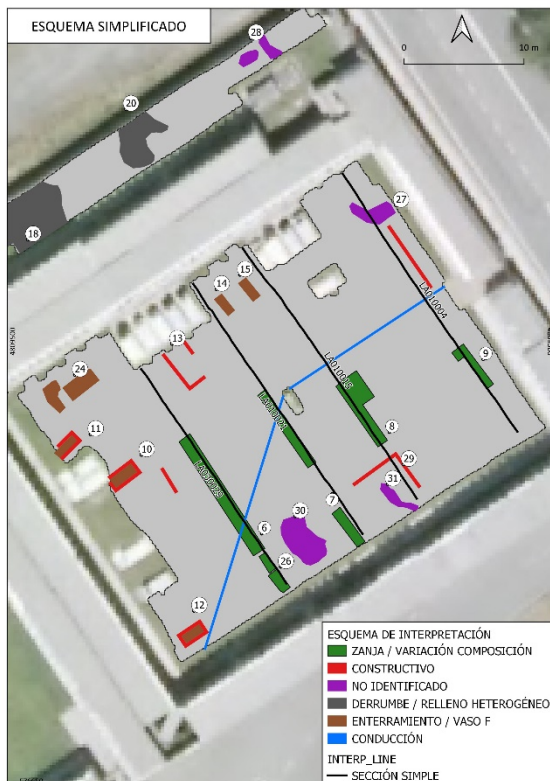
4. Resumen de contexto general

Debe destacarse de inicio la detección en el espacio principal del cementerio histórico de, al menos, dos niveles horizontales por debajo de la superficie actual, que se han interpretado como niveles de circulación precedentes al actual, cubiertos por aportaciones de tierras en momentos indeterminados. Esto es especialmente evidente en la mitad este del recinto central del cementerio. Aunque la disposición de estos niveles es variable, se ha establecido un rango aproximado de profundidad de 0.5-0.7 m para el primer nivel bajo superficie y un segundo, más discontinuo, situado alrededor de 1 m de profundidad. En el esquema de contexto se muestran las extensiones del primer nivel (grupos **1**, **2** y **3**), y del segundo nivel (grupos **4**, **5** y **7**). En el tercio sureste del recinto central se detecta una alteración extensiva por debajo de 1.2 m de profundidad que se ha identificado con un afloramiento geológico.

Por su parte, en los ámbitos explorados en el entorno del antiguo cementerio civil y en el corredor situado más al norte, no se detectan variaciones estratigráficas tan extensas, apreciándose únicamente una primera capa diferenciada, en torno a los 0.25 m de

profundidad y detectándose localmente un nuevo afloramiento geológico en el extremo suroeste del corredor norte (grupo **18**).

En este contexto caben destacar diferentes alteraciones más locales detectadas en toda la extensión explorada, algunas de ellas interpretadas como posibles enterramientos y, en otros casos, a elementos sin una identificación concluyente. Esto se muestra en un esquema de interpretación simplificado y en las secciones simples de las figuras 5-7.



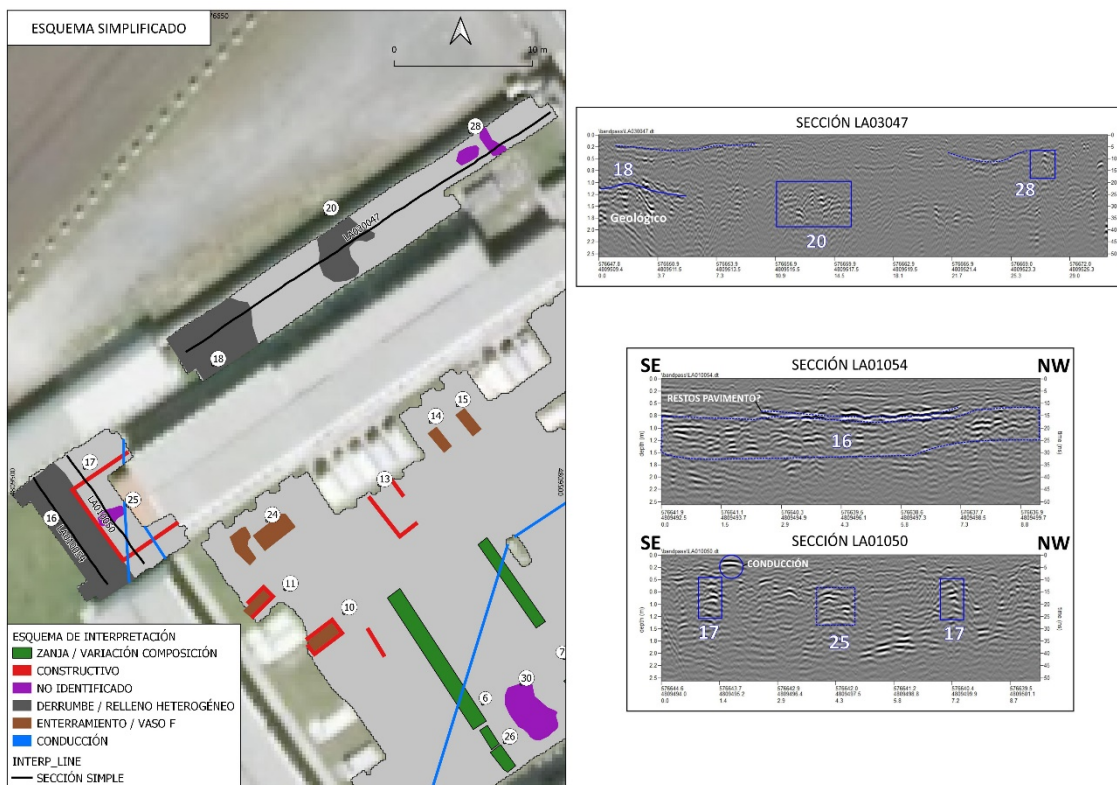
5. Zona central de cementerio. Resumen y secciones simples

En el espacio central del cementerio se han detectado los elementos **10, 11, 12, 14, 15** y **24**, que se han identificado como posibles enterramientos con estructura constructiva o con alteraciones estratigráficas compatibles con enterramientos. Los grupos 12, 14, 15 y 24, se detectan desde niveles muy superficiales, en torno a 0.2 m de profundidad. El grupo 10 presenta una profundidad algo mayor, cerca de 0.5 m de profundidad, con una respuesta más cambiante, que podría indicar la superposición de más de un elemento.

A mayor profundidad, entre 0.7 y 1 m, se han descrito estructuras de tipo lineal (13 y 29) que parecen definir perímetros algo mayores que el de un vaso funerario. Se han interpretado estos elementos como posibles divisiones de tipo constructivo.

A partir de 0.9 m, la secuencia de cortes horizontales muestra la progresiva aparición de estructuras reflectivas de tipo lineal, con una anchura variable y con una trayectoria coincidente con los ejes constructivos del recinto del cementerio. Estas estructuras, llamadas grupos 6, 7, 8 y 26 se han interpretado como posibles zanjas o intrusiones en el subsuelo, aunque su identificación con espacio de enterramiento no es concluyente.

Tal como se aprecia en la sección LA03029, que cubre la vertical de los grupos 6 y 26, la respuesta de esta posible zanja proviene sobre todo de una interfase muy reflectiva, que además presenta una cierta variación de cota. Sin embargo, por encima de esta interfase no se detecta una respuesta especialmente variada, por lo que no es posible asegurar que esta posible zanja contenga enterramientos. Esta misma situación puede apreciarse en el caso del elemento 7.



6. Zona cementerio civil y corredor norte. Secciones simples

En el caso del grupo **9**, situado en la esquina este del recinto, se detecta una interfase similar, pero también una variación de respuesta por encima de su vertical (sección LA01004). Por ello se interpreta que el grupo 9 podría responder a una estructura de enterramiento.

El grupo **8**, muestra una respuesta diferenciada. Se trata de un nivel de rellenos heterogéneos dispuestos en una franja de forma más irregular, aunque los datos no muestran subdivisiones internas que permitan identificar posibles enterramientos.

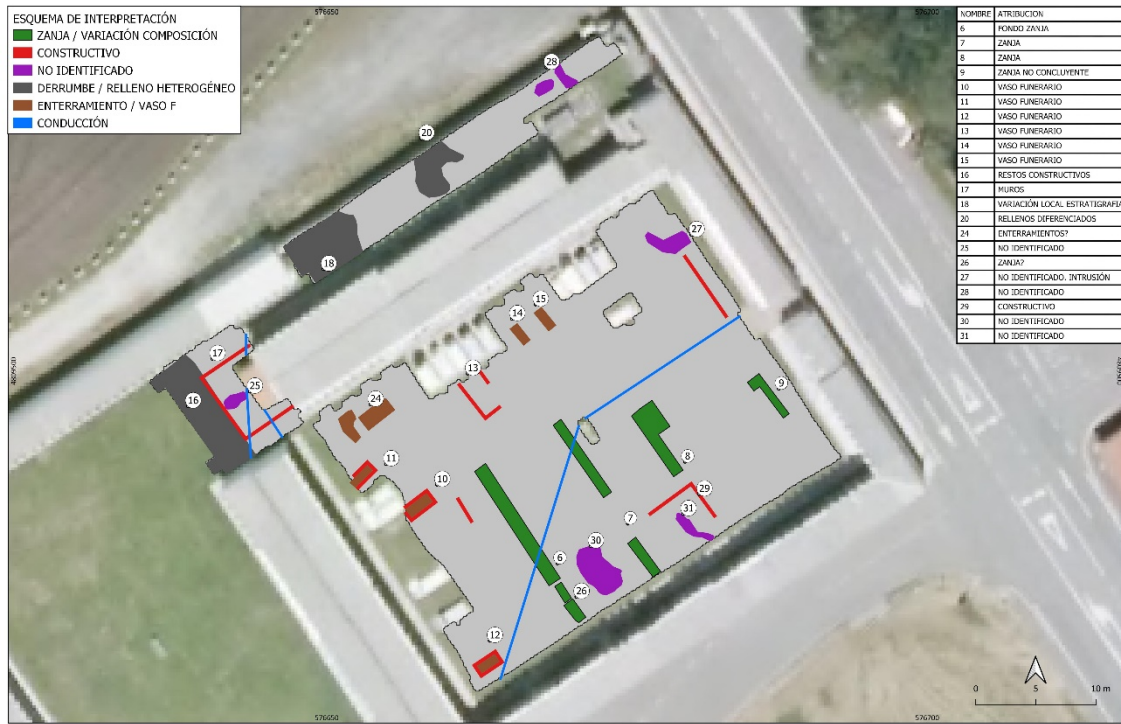
Frente a estos elementos que permiten una descripción e interpretación, ha sido posible describir un buen número de elementos que no permiten una interpretación concluyente por su posición, características y morfología. El grupo **27**, se sitúa en la esquina noreste del recinto central. Tal como se aprecia en la sección simple de la figura 5, este elemento consiste en una variación localizada de respuesta, detectada desde unos 0.6 m de profundidad. En este caso la respuesta obtenida es compatible con rellenos heterogéneos y su morfología no parece responder con claridad a un enterramiento individual o a una estructura de vaso funerario. De manera similar, los grupos **30** y **31** muestran variaciones locales de respuesta compatibles con rellenos diferenciados desde 0.6 m de profundidad, pero su dimensión vertical es reducida.

Por su parte, en el entorno del recinto del antiguo cementerio civil, los resultados muestran una respuesta diversa respecto al recinto central del cementerio. En este espacio destaca la detección de una franja con respuesta reflectiva y de composición más convulsa en el límite oeste de la prospección.

Junta a esta, se define una estructura, llamada grupo **16**, se ha identificado con los restos de un bloque de nicho actualmente desaparecido y desmontado en una fecha indeterminada, posterior a los años 30. En la sección representada en la figura 6, se aprecia un reflector horizontal que podría responder a restos de una pavimentación o nivel horizontal consolidado. En contacto con el grupo 16 se han descrito elementos lineales que se han interpretado como otros posibles muros (grupo **17**).

En el interior de este grupo de estructuras, se ha descrito una alteración localizada entre 0.8 y 1.4 m de profundidad. Este elemento, llamado grupo **25**, presenta características

compatibles con un relleno diferenciado del subsuelo, aunque su atribución no es concluyente, ya que puede responder tanto a rellenos constructivos como incluso a una estructura de enterramiento.



7. Síntesis interpretativa simplificada

En la zona de corredor que se desarrolla en la parte norte, en la trasera de bloques de nichos, los datos obtenidos muestran diferentes alteraciones reflectivas en los niveles superficiales (grupos **19**, **21** y **22**) que se atribuyen posiblemente a sondeos realizados en anteriores fases de proyectos de exhumación.

En niveles más profundos se aprecian otros grupos de alteraciones de mayor dimensión vertical. En el extremo oeste del corredor se ha delimitado el grupo **18**, que muestra una respuesta reflectiva desde superficie, pero con un aumento de esta respuesta desde 0.5 hasta 1.1 m, donde se detecta un nuevo cambio de respuesta. Este último cambio se ha interpretado como producto de un afloramiento geológico.

En la zona central del corredor se ha descrito el grupo **20**, consistente en una alteración reflectiva con evidentes variaciones internas. La atribución de esta estructura es poco concluyente, dado que podría responder a restos de un elemento constructivo localizado y, con menor probabilidad, a uno o más enterramientos.

Ya en el límite noreste del corredor se detecta el grupo **28**. En este caso se trata de un grupo de anomalías reflectivas detectadas desde 0.4 m de profundidad y con una dimensión más reducida que los elementos precedentes. La atribución de esta anomalía no es concluyente, aunque no se descarta que pueda responder a restos de un enterramiento.

5. CONCLUSIONES

Los datos aportados por la prospección con georradar han puesto de manifiesto la compleja disposición del subsuelo de las áreas exploradas del cementerio, lo que dificulta la identificación de elementos compatibles con enterramientos, especialmente en el caso que ocupa la intervención de búsqueda para la exhumación, de tipo individual.

A escala general, se ha apuntado la detección de posibles niveles de aporte de tierras, reformas y renivelaciones del terreno. Estas reformas hicieron desaparecer el trazado del andador de acceso al cementerio histórico, en un momento cronológico no precisado.

Aparte de esta constatación, el análisis de los datos ha permitido detectar diferentes alteraciones compatibles con enterramientos y vasos funerarios, alguno de ellos en niveles muy superficiales (0.25m) y otros en un rango entre 0.5m y 0.7m de profundidad. En cualquier caso, estas acciones podrían haber realizado, o incluso alterado parcialmente el posible nivel de circulación de los años 30.

En profundidades algo mayores (0.8-1 m) se han descrito estructuras que se ha interpretado como zanjas (6, 7, 8, 9, 26). Teniendo en cuenta las particularidades de Galicia en los métodos de enterramiento de los perpetradores (fosas individuales en lugar de fosas comunes), no puede asegurarse su identificación con los elementos de enterramiento buscados. Sin embargo, debe de tenerse en cuenta su presencia en caso de existencia de uso fuera de esta norma.

Otras anomalías con atribución menos clara se han descrito como elementos no concluyentes, ya sea su morfología o tipo de respuesta obtenida no permite realizar una identificación completamente positiva y concluyente con enterramientos individuales, pudiendo ser simplemente depósitos con rellenos diferenciados o niveles heterogéneos. De entre las posibles zanjas detectadas (6, 7, 8, 9 y 26), el grupo 9 es el que presenta características más compatibles con la existencia de un enterramiento.

Así pues, más allá de acotar la zona coincidente con las noticias orales con el trazado del andador de acceso, lo cual podría permitir reducir la zona en la que plantear sondeos, no ha sido posible identificar de forma clara elementos de enterramiento individuales. Aunque identificada como no concluyente, solo el grupo 27 presenta características compatibles con un enterramiento, aunque se encuentra fuera de las zonas apuntadas por las fuentes orales.

Los grupos 10, 11, 12, 14, 15, y 24 pueden corresponder a enterramientos individuales, pero con elementos constructivos, especialmente en el caso de 10, 11 y 12; sin poder asegurar una fosa simple, por lo que es difícil relacionarlos con inhumaciones de represaliados.

En la zona del antiguo cementerio civil muestran los restos de una estructura, identificada con restos desmontados de un bloque de nichos, posiblemente existente en los años 30, y eliminados en un momento posterior no precisado.

De nuevo, este elemento podría permitir acotar la posible zona de intervención, descartando la posibilidad de que existieran enterramientos en este punto (aunque debe de tenerse en cuenta la existencia de la anomalía 25, de atribución dudosa). Aparte de este elemento, de manera similar a la anterior zona, no ha sido posible realizar una identificación claramente positiva de elementos de enterramiento individuales.

Finalmente, en el corredor norte los datos muestran también alteraciones localizadas desde niveles superficiales. Sin que sea completamente concluyente, se ha destacado el grupo 28, que podría relacionarse, aunque no de manera completamente concluyente, con una estructura de enterramiento.



8. Propuestas (línea discontinua roja) de posibles zonas de actuación.

Sin haber sido posible identificar positivamente elementos de enterramientos individuales simples, se plantean dos zonas de posible intervención para sondeos, acotadas por los elementos constructivos descritos.

Roger Sala Bartrolí

Barcelona. 02-12-22



CEMENTERIO DE A CAPELA (A CORUÑA)

Prospección Geofísica para localización de fosa común.
 Prospección georradar. Secuencia de cortes horizontales.

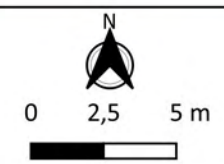
Corte Horizontal. PROFUNDIDAD.

0.0-0.19 m

- reflectividad +

ETRS89 29N
 EPSG 25829

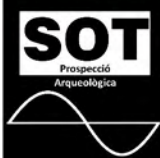
Escala A3: 1:260
 Información geográfica IGN



GEORRADAR

1

Gráfico



CEMENTERIO DE A CAPELA (A CORUÑA)

Prospección Geofísica para localización de fosa común.
Prospección georradar. Secuencia de cortes horizontales.

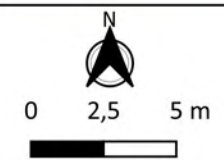
Corte Horizontal. PROFUNDIDAD.

0.10-0.29m

- reflectividad +

ETRS89 29N
EPSG 25829

Escala A3: 1:260
Información geográfica IGN



GEORRADAR

2

Gráfico



CEMENTERIO DE A CAPELA (A CORUÑA)

Prospección Geofísica para localización de fosa común.
Prospección georradar. Secuencia de cortes horizontales.

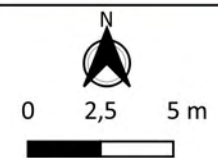
Corte Horizontal. PROFUNDIDAD.

0.20-0.39 m

- reflectividad +

ETRS89 29N
EPSG 25829

Escala A3: 1:260
Información geográfica IGN



GEORRADAR

3

Gráfico



CEMENTERIO DE A CAPELA (A CORUÑA)

Prospección Geofísica para localización de fosa común.
Prospección georradar. Secuencia de cortes horizontales.

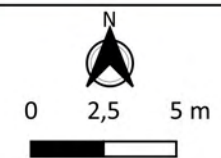
Corte Horizontal. PROFUNDIDAD.

0.31-0.49 m

- reflectividad +

ETRS89 29N
EPSG 25829

Escala A3: 1:260
Información geográfica IGN



GEORRADAR

4

Gráfico



CEMENTERIO DE A CAPELA (A CORUÑA)

Prospección Geofísica para localización de fosa común.
Prospección georradar. Secuencia de cortes horizontales.

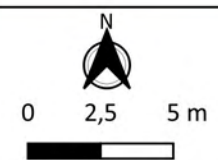
Corte Horizontal. PROFUNDIDAD.

0.41-0.60 m

- reflectividad +

ETRS89 29N
EPSG 25829

Escala A3: 1:260
Información geográfica IGN



GEORRADAR

5

Gráfico



CEMENTERIO DE A CAPELA (A CORUÑA)

Prospección Geofísica para localización de fosa común.
 Prospección georradar. Secuencia de cortes horizontales.

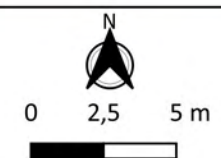
Corte Horizontal. PROFUNDIDAD.

0.51-0.70 m

- reflectividad +

ETRS89 29N
 EPSG 25829

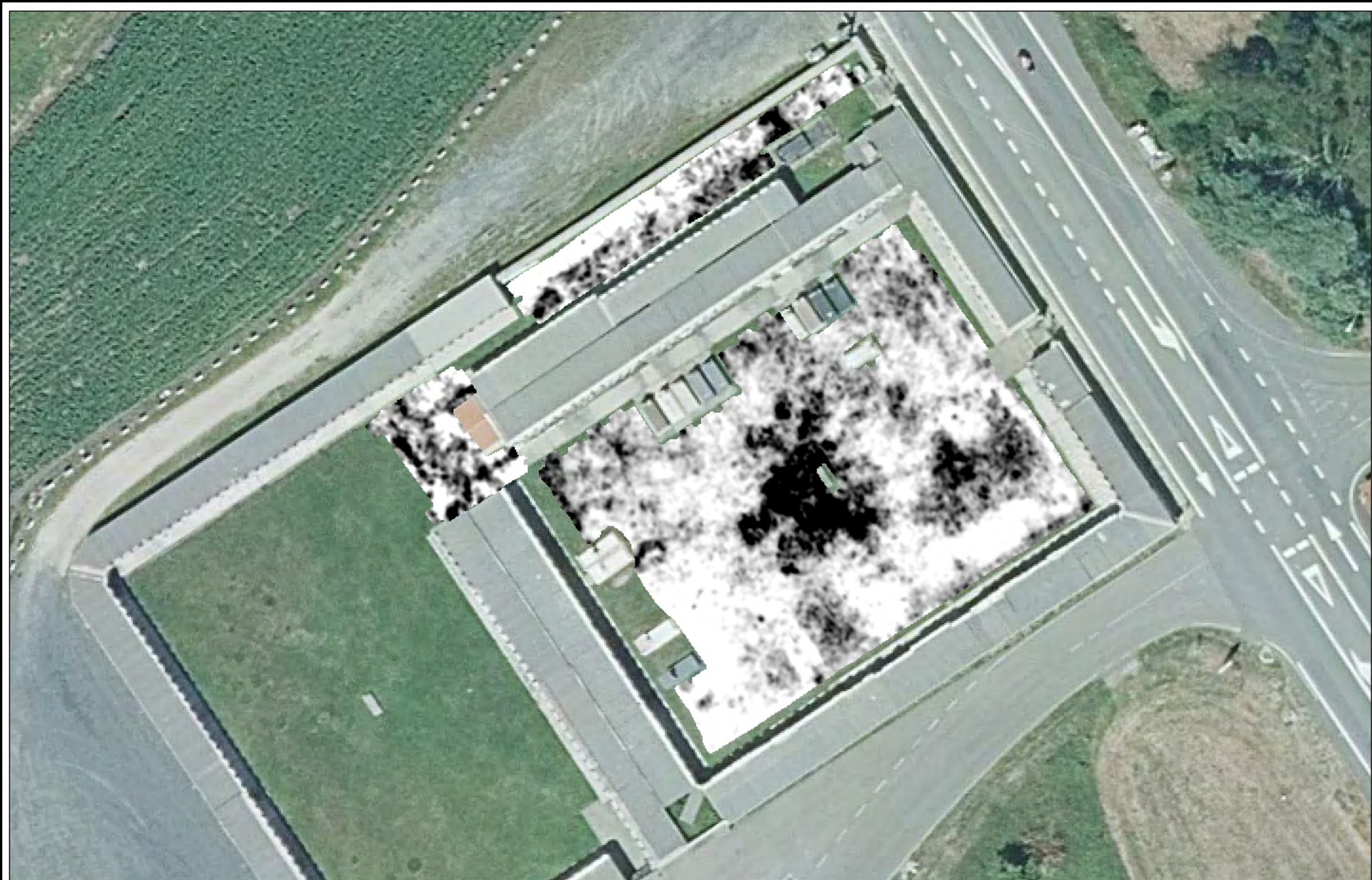
Escala A3: 1:260
 Información geográfica IGN



GEORRADAR

6

Gráfico



CEMENTERIO DE A CAPELA (A CORUÑA)

Prospección Geofísica para localización de fosa común.
 Prospección georadar. Secuencia de cortes horizontales.

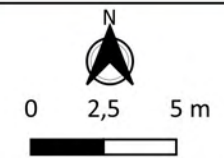
Corte Horizontal. PROFUNDIDAD.

0.61-0.80 m

- reflectividad +

ETRS89 29N
 EPSG 25829

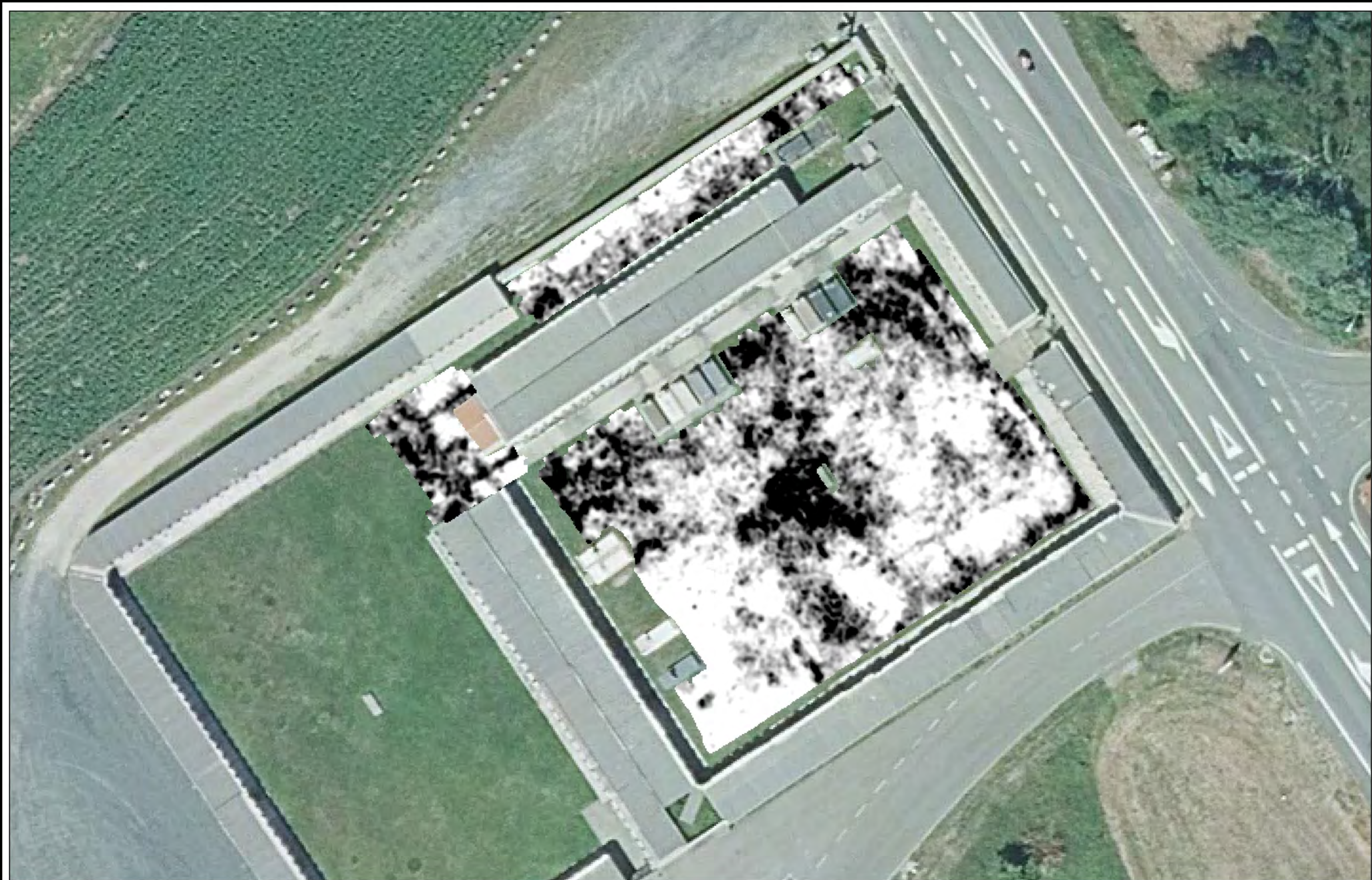
Escala A3: 1:260
 Información geográfica IGN



GEORRADAR

7

Gráfico



CEMENTERIO DE A CAPELA (A CORUÑA)

Prospección Geofísica para localización de fosa común.
Prospección georradar. Secuencia de cortes horizontales.

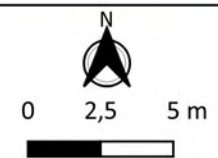
Corte Horizontal. PROFUNDIDAD.

0.72-0.90 m

- reflectividade +

ETRS89 29N
EPSG 25829

Escala A3: 1:260
Información geográfica IGN



GEORRADAR

8

Gráfico



CEMENTERIO DE A CAPELA (A CORUÑA)

Prospección Geofísica para localización de fosa común.
Prospección georradar. Secuencia de cortes horizontales.

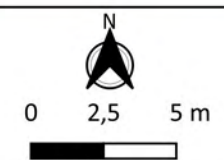
Corte Horizontal. PROFUNDIDAD.

0.82-1.01 m

- reflectividad +

ETRS89 29N
EPSG 25829

Escala A3: 1:260
Información geográfica IGN



GEORRADAR

9

Gráfico



CEMENTERIO DE A CAPELA (A CORUÑA)

Prospección Geofísica para localización de fosa común.
Prospección georradar. Secuencia de cortes horizontales.

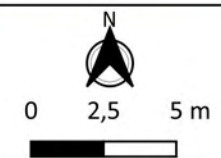
Corte Horizontal. PROFUNDIDAD.

0.92-1.11 m

- reflectividad +

ETRS89 29N
EPSG 25829

Escala A3: 1:260
Información geográfica IGN



GEORRADAR

10

Gráfico



CEMENTERIO DE A CAPELA (A CORUÑA)

Prospección Geofísica para localización de fosa común.
 Prospección georradar. Secuencia de cortes horizontales.

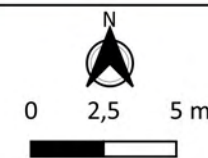
Corte Horizontal. PROFUNDIDAD.

1.02-1.21 m

- reflectividad +

ETRS89 29N
 EPSG 25829

Escala A3: 1:260
 Información geográfica IGN



GEORRADAR

11

Gráfico



CEMENTERIO DE A CAPELA (A CORUÑA)

Prospección Geofísica para localización de fosa común.
Prospección georradar. Secuencia de cortes horizontales.

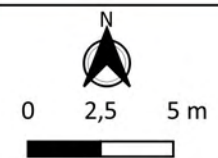
Corte Horizontal. PROFUNDIDAD.

1.13-1.31 m

- reflectividad +

ETRS89 29N
EPSG 25829

Escala A3: 1:260
Información geográfica IGN



GEORRADAR

12

Gráfico



CEMENTERIO DE A CAPELA (A CORUÑA)

Prospección Geofísica para localización de fosa común.
Prospección georradar. Secuencia de cortes horizontales.

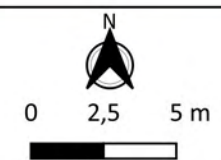
Corte Horizontal. PROFUNDIDAD.

1.23-1.41 m

- reflectividad +

ETRS89 29N
EPSG 25829

Escala A3: 1:260
Información geográfica IGN



GEORRADAR

13

Gráfico



CEMENTERIO DE A CAPELA (A CORUÑA)

Prospección Geofísica para localización de fosa común.
 Prospección georradar. Secuencia de cortes horizontales.

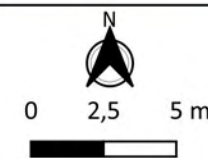
Corte Horizontal. PROFUNDIDAD.

1.33-1.52 m

- reflectividad +

ETRS89 29N
 EPSG 25829

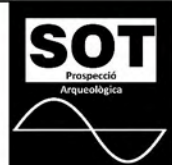
Escala A3: 1:260
 Información geográfica IGN



GEORRADAR

14

Gráfico



CEMENTERIO DE A CAPELA (A CORUÑA)

Prospección Geofísica para localización de fosa común.
Prospección georradar. Secuencia de cortes horizontales.

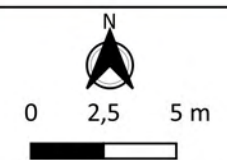
Corte Horizontal. PROFUNDIDAD.

1.43-1.62 m

- reflectividad +

ETRS89 29N
EPSG 25829

Escala A3: 1:260
Información geográfica IGN



GEORRADAR

15

Gráfico



CEMENTERIO DE A CAPELA (A CORUÑA)

Prospección Geofísica para localización de fosa común.
Prospección georradar. Secuencia de cortes horizontales.

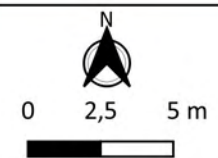
Corte Horizontal. PROFUNDIDAD.

1.53-1.72 m

- reflectividad +

ETRS89 29N
EPSG 25829

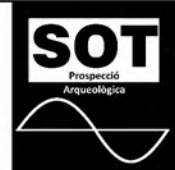
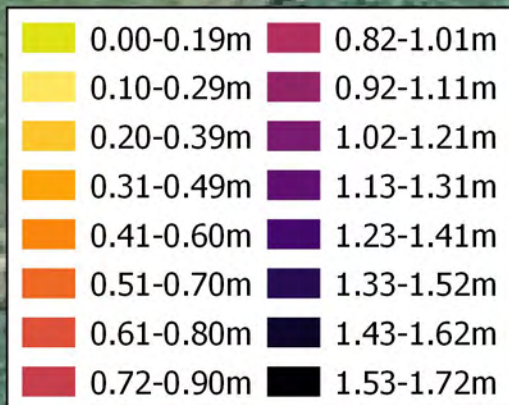
Escala A3: 1:260
Información geográfica IGN



GEORRADAR

16

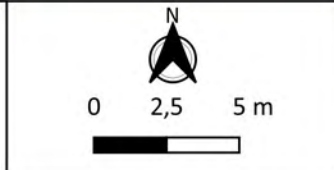
Gráfico

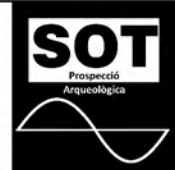


CEMENTERIO DE A CAPELA (A CORUÑA)
 Prospección Geofísica para localización de fosa común.
 Prospección georradar. Vectorización de anomalías por profundidad.

Vectorización de anomalías por profundidad

ETRS89 29N
 EPSG 25829
 Escala A3: 1:260
 Información geográfica IGN

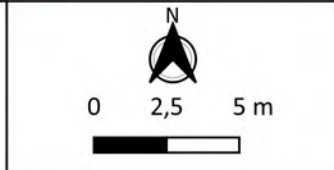


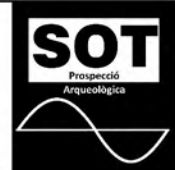
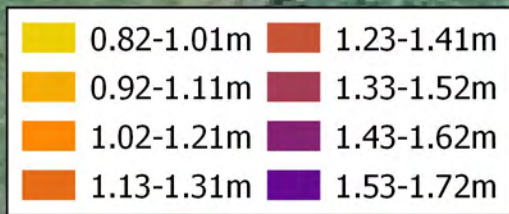


CEMENTERIO DE A CAPELA (A CORUÑA)
 Prospección Geofísica para localización de fosa común.
 Prospección georradar. Vectorización de anomalías por profundidad. Niveles superficiales.

Vectorización de anomalías por profundidad

ETRS89 29N
 EPSG 25829
 Escala A3: 1:260
 Información geográfica IGN

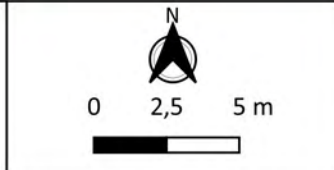




CEMENTERIO DE A CAPELA (A CORUÑA)
 Prospección Geofísica para localización de fosa común.
 Prospección georradar. Vectorización de anomalías por profundidad. Niveles profundos.

Vectorización de anomalías por profundidad

ETRS89 29N
 EPSG 25829
 Escala A3: 1:260
 Información geográfica IGN



GEORRADAR
20
 Gráfico

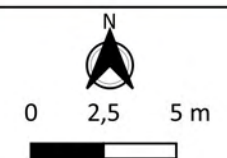


CEMENTERIO DE A CAPELA (A CORUÑA)

Prospección Geofísica para localización de fosa común.
Prospección georradar. Interpretación simplificada

Esquemas vectoriales.
Síntesis interpretativa.

ETRS89 29N
EPSG 25829
Escala A3: 1:260
Información geográfica IGN



GEORRADAR
21
Gráfico